



UNIVERSIDADE FEDERAL DE CAMPINA GRANDE
CENTRO DE ENGENHARIA ELÉTRICA E COMPUTAÇÃO
DEPARTAMENTO DE ENGENHARIA ELÉTRICA

TEEE - Projeto de circuitos fotônicos em silício

Unidade 01

Prof. Adolfo Herbster
6 de Dezembro de 2021

Lição atual: Problema modal

Problema modal

Equação de onda

1. Equações de Maxwell (com $\nabla \times$):

$$\nabla \times \mathbf{E} = -j\omega\mu\mathbf{H}, \quad (1)$$

$$\nabla \times \mathbf{H} = j\omega\varepsilon\mathbf{E}. \quad (2)$$

2. Equação da onda em um meio qualquer:

$$\nabla \times \mathbf{H} = j\omega\varepsilon\mathbf{E} \Rightarrow$$

$$\nabla \times \left(-\frac{\nabla \times \mathbf{E}}{j\omega\mu} \right) = j\omega\varepsilon\mathbf{E} \Rightarrow$$

$$\nabla \times (\mu^{-1} \nabla \times \mathbf{E}) = \omega^2 \varepsilon \mathbf{E} \quad (3)$$

3. Equação de onda em meio LHI¹:

$$\nabla \times (\mu^{-1} \nabla \times \mathbf{E}) = \omega^2 \varepsilon \mathbf{E} \Rightarrow$$

$$\nabla \times \nabla \times \mathbf{E} = \omega^2 \mu \varepsilon \mathbf{E} \Rightarrow$$

$$\nabla^2 \mathbf{E} + k^2 \mathbf{E} = 0, \quad (4)$$

em que $k = \omega\sqrt{\mu\varepsilon}$ é o número de onda.

4. Equações de onda com componentes independentes:

$$\nabla^2 E_x + k^2 E_x = 0$$

$$\nabla^2 E_y + k^2 E_y = 0$$

$$\nabla^2 E_z + k^2 E_z = 0 \quad (5)$$

¹Linear, homogêneo e isotrópico.

Problema modal

Componentes transversal e longitudinal

É considerado que a forma do campo elétrico e magnético é da forma

$$\mathbf{E}(x, y, z, t) = \mathbf{E}(x, y)e^{j\omega t - j\beta z}, \quad (6)$$

$$\mathbf{H}(x, y, z, t) = \mathbf{H}(x, y)e^{j\omega t - j\beta z}, \quad (7)$$

em que β é o número de onda (ou constante de fase) ao longo da direção de propagação do guia. Devido à direção de propagação estabelecida pelo guia, é conveniente decompor os campos em componentes do tipo transversal e longitudinal. Desta forma:

$$\mathbf{E}(x, y) = \underbrace{\hat{\mathbf{x}} E_x(x, y) + \hat{\mathbf{y}} E_y(x, y)}_{\text{transversal}} + \underbrace{\hat{\mathbf{z}} E_z(x, y)}_{\text{longitudinal}} \quad (8)$$

De forma similar, o operador ∇ é decomposto como

$$\nabla = \underbrace{\hat{\mathbf{x}} \partial_x + \hat{\mathbf{y}} \partial_y}_{\text{transversal}} + \hat{\mathbf{z}} \partial_z = \nabla_T + \hat{\mathbf{z}} \partial_z = \nabla_T - j\beta \hat{\mathbf{z}}. \quad (9)$$

Problema modal

Equações de Maxwell

Ao considerar a decomposição dos campos (Eq. 8) e dos operadores (Eq. 9) nas equações de Maxwell, podemos escrever

$$\left\{ \begin{array}{l} \nabla \times \mathbf{E} = -j\omega\mu\mathbf{H} \\ \nabla \times \mathbf{H} = j\omega\varepsilon\mathbf{E} \\ \nabla \cdot \mathbf{E} = 0 \\ \nabla \cdot \mathbf{H} = 0. \end{array} \right. \rightarrow \left\{ \begin{array}{l} (\nabla_T - j\beta \hat{\mathbf{z}}) \times (\mathbf{E}_T + \hat{\mathbf{z}} E_z) = -j\omega\mu (\mathbf{H}_T + \hat{\mathbf{z}} H_z) \\ (\nabla_T - j\beta \hat{\mathbf{z}}) \times (\mathbf{H}_T + \hat{\mathbf{z}} H_z) = j\omega\varepsilon (\mathbf{E}_T + \hat{\mathbf{z}} E_z) \\ (\nabla_T - j\beta \hat{\mathbf{z}}) \cdot (\mathbf{E}_T + \hat{\mathbf{z}} E_z) = 0 \\ (\nabla_T - j\beta \hat{\mathbf{z}}) \cdot (\mathbf{H}_T + \hat{\mathbf{z}} H_z) = 0. \end{array} \right. \quad (10)$$

em que μ e ε é a permeabilidade e a permissividade, em ordem, do dielétrico do meio em análise. O meio é considerado sem perdas. Após expandir as operações vetoriais das equações anteriores, obtemos (**mostre!**):

$$\nabla E_z \times \hat{\mathbf{z}} - j\beta \hat{\mathbf{z}} \times \mathbf{E}_T = -j\omega\mu\mathbf{H}_T \quad (11)$$

$$\nabla H_z \times \hat{\mathbf{z}} - j\beta \hat{\mathbf{z}} \times \mathbf{H}_T = j\omega\varepsilon\mathbf{E}_T \quad (12)$$

$$\nabla \times \mathbf{E}_T + j\omega\mu H_z \hat{\mathbf{z}} = 0 \quad (13)$$

$$\nabla \times \mathbf{H}_T - j\omega\varepsilon E_z \hat{\mathbf{z}} = 0 \quad (14)$$

$$\nabla_T \cdot \mathbf{E}_T - j\beta E_z = 0 \quad (15)$$

$$\nabla_T \cdot \mathbf{H}_T - j\beta H_z = 0 \quad (16)$$

Problema modal

Componentes transversais do campo

Tomando a [Eq. 11](#) e [Eq. 12](#), podemos expressar as componentes transversais em função das componentes longitudinais como²

$$\hat{\mathbf{z}} \times \mathbf{E}_T = -j \frac{\beta}{k_c^2} \hat{\mathbf{z}} \times \nabla_T E_z - j \frac{\omega \mu}{k_c^2} \nabla_T H_z, \quad (17)$$

$$\mathbf{H}_T = -j \frac{\omega \varepsilon}{k_c^2} \hat{\mathbf{z}} \times \nabla_T E_z - j \frac{\beta}{k_c^2} \nabla_T H_z, \quad (18)$$

em que k_c é o número de onda de corte e pode ser interpretado fisicamente como a componente transversal do vetor de onda de magnitude $k = \omega \sqrt{\mu \varepsilon}$:

$$k_c^2 = k^2 - \beta^2 \leftrightarrow k^2 = k_c^2 + \beta^2. \quad (19)$$

Ainda, podemos reescrever a [Eq. 17](#) e [Eq. 18](#) como

$$\hat{\mathbf{z}} \times \mathbf{E}_T = -j \frac{\beta}{k_c^2} \left(\hat{\mathbf{z}} \times \nabla_T E_z + \frac{\omega \mu}{\beta} \nabla_T H_z \right), \quad (20)$$

$$\mathbf{H}_T = -j \frac{\beta}{k_c^2} \left(\frac{\omega \varepsilon}{\beta} \hat{\mathbf{z}} \times \nabla_T E_z + \nabla_T H_z \right). \quad (21)$$

²Considere utilizar as identidades vetoriais expressas em [Ex. 29](#) e [Ex. 30](#).

Problema modal

Relação de dispersão

A relação de dispersão relaciona a frequência angular da onda eletromagnética com sua constante de propagação (Eq. 19). Desta equação, obtemos a frequência angular de corte:

$$\omega_c = \sqrt{\omega^2 - c^2 \beta^2}, \quad (22)$$

e as velocidades de fase e de grupo:

$$v_p = \frac{\omega}{\beta} = \frac{c}{\sqrt{1 - (\omega_c/\omega)^2}}, \quad (23)$$

$$v_g = \frac{\partial \omega}{\partial \beta} = c \sqrt{1 - (\omega_c/\omega)^2}. \quad (24)$$

Qual o significado físico de v_p e v_g ? Há algum problema em $v_p > c$?

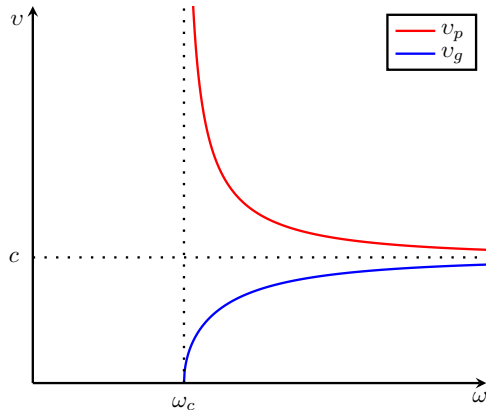


Figura 3: Velocidade de fase v_p e velocidade de grupo v_g em função da frequência angular do sinal.

Problema modal

Componentes transversais do campo

Ao considerar identidade vetorial $\hat{\mathbf{z}} \times (\hat{\mathbf{z}} \times \mathbf{E}_T) = -\mathbf{E}_T$, podemos reescrever a Eq. 20 e Eq. 21, respectivamente, como

$$\mathbf{E}_T = -j \frac{\beta}{k_c^2} (\nabla_T E_z - \eta_{TE} \hat{\mathbf{z}} \times \nabla_T H_z), \quad (25)$$

$$\mathbf{H}_T = -j \frac{\beta}{k_c^2} \left(\nabla_T H_z + \frac{1}{\eta_{TM}} \hat{\mathbf{z}} \times \nabla_T E_z \right). \quad (26)$$

Finalmente, ao substituir as Eqs. 25 e 26 nas Eqs. 13-16³, são obtidas as equações de Helmholtz:

$$\nabla_T^2 E_z + k_c^2 E_z = 0, \quad (27)$$

$$\nabla_T^2 H_z + k_c^2 H_z = 0. \quad (28)$$

Uma vez solucionadas as duas equações anteriores (E_z e H_z), as demais componentes são obtidas (\mathbf{E}_T e \mathbf{H}_T) por meio das Eqs. 25-26, de acordo com as condições de fronteira para cada tipo de guia de onda e de acordo com o sistema de coordenadas utilizado.

³Considere utilizar as identidades vetoriais expressas em Exps. 31-33.

Identidades vetoriais

As identidades vetoriais utilizadas nesta seção:

$$\hat{\mathbf{z}} \times (\hat{\mathbf{z}} \times \mathbf{A}_T) = -\mathbf{A}_T, \quad (29)$$

$$\hat{\mathbf{z}} \times (\nabla_T A_z \times \hat{\mathbf{z}}) = \nabla_T A_z, \quad (30)$$

$$\nabla_T \times \nabla_T A_z = 0, \quad (31)$$

$$\nabla_T \times (\hat{\mathbf{z}} \times \nabla_T A_z) = \hat{\mathbf{z}} \nabla_T^2 A_z, \quad (32)$$

$$\nabla_T \cdot (\hat{\mathbf{z}} \times \nabla_T A_z) = 0. \quad (33)$$

Componentes de campo

Coordenadas cartesianas

As equações de Helmholtz em coordenadas cartesianas são:

$$\left(\partial_x^2 + \partial_y^2 \right) E_z + k_c^2 E_z = 0 \quad (34)$$

$$\left(\partial_x^2 + \partial_y^2 \right) H_z + k_c^2 H_z = 0 \quad (35)$$

As demais componentes de campos são (a partir das [Eqs. 25-26](#)):

$$E_x = -j \frac{\beta}{k_c^2} \left(\partial_x E_z + \eta_{TE} \partial_y H_z \right) \quad (36)$$

$$E_y = -j \frac{\beta}{k_c^2} \left(\partial_y E_z - \eta_{TE} \partial_x H_z \right) \quad (37)$$

$$H_x = -j \frac{\beta}{k_c^2} \left(\partial_x H_z - \frac{1}{\eta_{TM}} \partial_y E_z \right) \quad (38)$$

$$H_y = -j \frac{\beta}{k_c^2} \left(\partial_y H_z + \frac{1}{\eta_{TM}} \partial_x E_z \right) \quad (39)$$

Componentes de campo

Coordenadas cilíndricas

Em coordenadas cilíndricas, o vetor é decomposto como:

$$\mathbf{E}_T = \hat{\rho} E_\rho + \hat{\phi} E_\phi. \quad (40)$$

Os operadores são reescritos na forma:

$$\nabla_T = \hat{\rho} \frac{\partial}{\partial \rho} + \hat{\phi} \frac{1}{\rho} \frac{\partial}{\partial \phi}, \quad (41)$$

$$\nabla_T^2 = \frac{1}{\rho} \frac{\partial}{\partial \rho} \left(\rho \frac{\partial}{\partial \rho} \right) + \frac{1}{\rho^2} \frac{\partial^2}{\partial \phi^2}. \quad (42)$$

Portanto, as equações de Helmholtz (Eqs. 27-28) são escritas como:

$$\frac{1}{\rho} \frac{\partial}{\partial \rho} \left(\rho \frac{\partial E_z}{\partial \rho} \right) + \frac{1}{\rho^2} \frac{\partial^2 E_z}{\partial \phi^2} + k_c^2 E_z = 0 \quad (43)$$

$$\frac{1}{\rho} \frac{\partial}{\partial \rho} \left(\rho \frac{\partial H_z}{\partial \rho} \right) + \frac{1}{\rho^2} \frac{\partial^2 H_z}{\partial \phi^2} + k_c^2 H_z = 0 \quad (44)$$

Componentes de campo

Coordenadas cilíndricas

De maneira semelhante, as demais componentes de campos são (a partir das [Eqs. 25-26](#)), em coordenadas cilíndricas, obtidas a partir das componentes logitudinais:

$$E_\rho = -j \frac{\beta}{k_c^2} \left(\partial_\rho E_z + \eta_{TE} \frac{1}{\rho} \partial_\phi H_z \right) \quad (45)$$

$$E_\phi = -j \frac{\beta}{k_c^2} \left(\frac{1}{\rho} \partial_\phi E_z - \eta_{TE} \partial_\rho H_z \right) \quad (46)$$

$$H_\rho = -j \frac{\beta}{k_c^2} \left(\partial_\rho H_z - \frac{1}{\eta_{TM} \rho} \partial_\phi H_z \right) \quad (47)$$

$$H_\phi = -j \frac{\beta}{k_c^2} \left(\frac{1}{\rho} \partial_\phi H_z + \frac{1}{\eta_{TM}} \partial_\rho H_z \right) \quad (48)$$

As soluções são classificadas de acordo com as componentes logitudinais dos campos (E_z , H_z).

Modos

Classificação

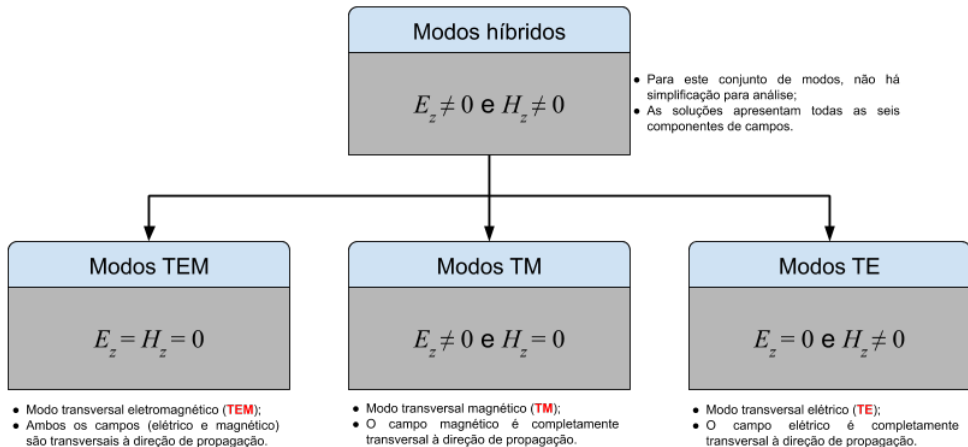


Figura 4: Classificação das soluções a partir das equações de Helmholtz (Eqs. 27-28).

Problema modal

Impedâncias

A partir da Eq. 20 e Eq. 21, podemos definir dois parâmetros de impedância (para $\omega > \omega_c$):

$$\eta_{TE} = \frac{\omega\mu}{\beta} = \frac{\eta_0}{\sqrt{1 - (\omega_c/\omega)^2}}, \quad (49)$$

$$\eta_{TM} = \frac{\beta}{\omega\varepsilon} = \eta_0 \sqrt{1 - (\omega_c/\omega)^2}. \quad (50)$$

em que η_0 é a impedância característica do espaço livre. No caso em que $\omega < \omega_c$:

$$\eta_{TE} = \frac{-j\eta_0}{\sqrt{(\omega_c/\omega)^2 - 1}}, \quad (51)$$

$$\eta_{TM} = j\eta_0 \sqrt{(\omega_c/\omega)^2 - 1}. \quad (52)$$

Qual o significado físico de η_{TE} e η_{TM} ? O que representa η_0 ?

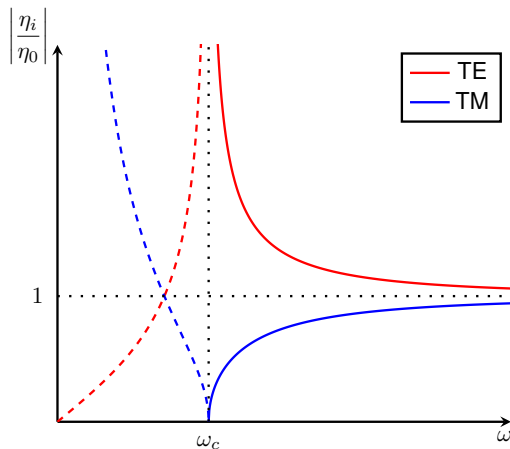


Figura 5: Impedância do modo normalizada em função da frequência angular do sinal.

Modos TEM

Características e solução

Nos modos TEM (*Transverse Electromagnetic Mode*), as componentes longitudinais dos campos (E_z e H_z) são nulas e, portanto, ambos os campos são ortogonais à direção de propagação. Ainda, $\beta = k$ e, portanto, não há frequência de corte para estes modos. Como $\omega = \beta c$, as impedâncias η_{TE} e η_{TM} são idênticas à impedância do meio η . A relação entre os campos magnético e elétrico é:

$$\mathbf{H}_T = \frac{1}{\eta} \hat{\mathbf{z}} \times \mathbf{E}_T. \quad (53)$$

O campo elétrico \mathbf{E}_T é determinado pelo restante das equações de Maxwell:

$$\nabla_T \times \mathbf{E}_T = 0 \quad (54)$$

$$\nabla_T \cdot \mathbf{E}_T = 0 \quad (55)$$

Por fim, o vetor de Poynting \mathcal{P}_z é:

$$\mathcal{P}_z = \frac{1}{2} \text{Re} (\mathbf{E}_T \times \mathbf{H}_T^*) \cdot \hat{\mathbf{z}} = \frac{1}{2\eta} |\mathbf{E}_T|^2 = \frac{1}{2} \eta |\mathbf{H}_T|^2. \quad (56)$$

Quais as características do guia de onda para a existência de modos TEM?

Modos TM

Características e solução

Os modos TM (*Transverse Magnetic*) são caracterizados pela condição $E_z \neq 0$ e $H_z = 0$. Todas as componentes dos modos TM são obtidas por:

$$\nabla_T^2 E_z + k_c^2 E_z = 0 \quad (57)$$

$$\mathbf{E}_T = -j \frac{\beta}{k_c^2} \nabla_T E_z \quad (58)$$

$$\mathbf{H}_T = \frac{1}{\eta_{TM}} \hat{\mathbf{z}} \times \mathbf{E}_T. \quad (59)$$

O vetor de Poynting \mathcal{P}_z tem a forma:

$$\mathcal{P}_z = \frac{1}{2} \operatorname{Re} (\mathbf{E}_T \times \mathbf{H}_T^*) \cdot \hat{\mathbf{z}} = \frac{1}{2\eta_{TM}} |\mathbf{E}_T|^2 = \frac{1}{2\eta_{TM}} \frac{\beta^2}{k_c^4} |\nabla_T E_z|^2. \quad (60)$$

Quais as características do guia de onda para a existência de modos TM?

Modos TE

Características e solução

Os modos TE (*Transverse Electric*) são caracterizados pela condição $\mathbf{E}_z = 0$ e $\mathbf{H}_z \neq 0$. Todas as componentes dos modos TE são obtidas por:

$$\nabla_T^2 H_z + k_c^2 H_z = 0 \quad (61)$$

$$\mathbf{H}_T = -j \frac{\beta}{k_c^2} \nabla_T H_z \quad (62)$$

$$\mathbf{E}_T = \eta_{TE} \mathbf{H}_T \times \hat{\mathbf{z}}. \quad (63)$$

O vetor de Poynting \mathcal{P}_z , nesta situação, apresenta a forma

$$\mathcal{P}_z = \frac{1}{2} \operatorname{Re} (\mathbf{E}_T \times \mathbf{H}_T^*) \cdot \hat{\mathbf{z}} = \frac{1}{2} \eta_{TE} |\mathbf{H}_T|^2 = \frac{1}{2} \eta_{TE} \frac{\beta^2}{k_c^4} |\nabla_T H_z|^2. \quad (64)$$

Quais as características do guia de onda para a existência de modos TE?

Modos híbridos

Características e solução

Os modos híbridos apresentam componentes longitudinais não nulas para satisfazer as condições de contorno do problema. Como antecipado, neste caso, não é possível simplificar as equações iniciais.

Como primeiro passo de resolução, determinamos as componentes longitudinais em função das componentes transversais. Para H_z , resolvemos as [Eqs. 35-37](#), obtendo:

$$H_z = \frac{j}{\omega\mu} \left(\frac{\partial E_y}{\partial x} - \frac{\partial E_x}{\partial y} \right). \quad (65)$$

Da mesma forma, considerando as [Eqs. 34, 38 e 39](#):

$$E_z = -\frac{j}{\omega\varepsilon} \left(\frac{\partial H_y}{\partial x} - \frac{\partial H_x}{\partial y} \right). \quad (66)$$

Modos híbridos

Solução

Em seguida, as expressões das componentes longitudinais (Eqs. 65-66) são substituídas nas expressões das componentes transversais (Eqs. 36-39):

$$\frac{1}{\omega} \frac{\partial}{\partial x} \left[\frac{1}{\varepsilon} \left(\frac{\partial H_y}{\partial x} - \frac{\partial H_x}{\partial y} \right) \right] + \omega \mu H_y = \beta E_x \quad (67)$$

$$-\frac{1}{\omega} \frac{\partial}{\partial x} \left[\frac{1}{\mu} \left(\frac{\partial E_y}{\partial x} - \frac{\partial E_x}{\partial y} \right) \right] - \omega \varepsilon E_y = \beta H_x \quad (69)$$

$$\frac{1}{\omega} \frac{\partial}{\partial y} \left[\frac{1}{\varepsilon} \left(\frac{\partial H_y}{\partial x} - \frac{\partial H_x}{\partial y} \right) \right] - \omega \mu H_x = \beta E_y \quad (68)$$

$$-\frac{1}{\omega} \frac{\partial}{\partial y} \left[\frac{1}{\mu} \left(\frac{\partial E_y}{\partial x} - \frac{\partial E_x}{\partial y} \right) \right] + \omega \varepsilon E_x = \beta H_y \quad (70)$$

Modos híbridos

Solução

É possível expressar as equações anteriores na forma matricial:

$$\begin{bmatrix} -\frac{1}{\omega} \frac{\partial}{\partial x} \frac{1}{\varepsilon} \frac{\partial}{\partial y} & \left(\frac{1}{\omega} \frac{\partial}{\partial x} \frac{1}{\varepsilon} \frac{\partial}{\partial x} + \omega \mu \right) \\ -\left(\frac{1}{\omega} \frac{\partial}{\partial y} \frac{1}{\varepsilon} \frac{\partial}{\partial y} + \omega \mu \right) & \frac{1}{\omega} \frac{\partial}{\partial y} \frac{1}{\varepsilon} \frac{\partial}{\partial x} \end{bmatrix} \begin{bmatrix} H_x \\ H_y \end{bmatrix} = \beta \begin{bmatrix} E_x \\ E_y \end{bmatrix} \quad (71)$$

$$\begin{bmatrix} \frac{1}{\omega} \frac{\partial}{\partial x} \frac{1}{\mu} \frac{\partial}{\partial y} & -\left(\frac{1}{\omega} \frac{\partial}{\partial x} \frac{1}{\mu} \frac{\partial}{\partial x} + \omega \varepsilon \right) \\ \left(\frac{1}{\omega} \frac{\partial}{\partial y} \frac{1}{\mu} \frac{\partial}{\partial y} + \omega \varepsilon \right) & -\frac{1}{\omega} \frac{\partial}{\partial y} \frac{1}{\mu} \frac{\partial}{\partial x} \end{bmatrix} \begin{bmatrix} E_x \\ E_y \end{bmatrix} = \beta \begin{bmatrix} H_x \\ H_y \end{bmatrix} \quad (72)$$

Modos híbridos

Solução

As componentes transversais do campo magnético são expressas a partir da [Eq. 72](#) como

$$\begin{bmatrix} H_x \\ H_y \end{bmatrix} = \frac{1}{\beta} \begin{bmatrix} \frac{1}{\omega} \frac{\partial}{\partial x} \frac{1}{\mu} \frac{\partial}{\partial y} & - \left(\frac{1}{\omega} \frac{\partial}{\partial x} \frac{1}{\mu} \frac{\partial}{\partial x} + \omega \varepsilon \right) \\ \left(\frac{1}{\omega} \frac{\partial}{\partial y} \frac{1}{\mu} \frac{\partial}{\partial y} + \omega \varepsilon \right) & - \frac{1}{\omega} \frac{\partial}{\partial y} \frac{1}{\mu} \frac{\partial}{\partial x} \end{bmatrix} \begin{bmatrix} E_x \\ E_y \end{bmatrix}. \quad (73)$$

Ao substituir esta equação na [Eq. 71](#), temos

$$\begin{bmatrix} -\frac{1}{\omega} \frac{\partial}{\partial x} \frac{1}{\varepsilon} \frac{\partial}{\partial y} & \left(\frac{1}{\omega} \frac{\partial}{\partial x} \frac{1}{\varepsilon} \frac{\partial}{\partial x} + \omega \mu \right) \\ - \left(\frac{1}{\omega} \frac{\partial}{\partial y} \frac{1}{\varepsilon} \frac{\partial}{\partial y} + \omega \mu \right) & \frac{1}{\omega} \frac{\partial}{\partial y} \frac{1}{\varepsilon} \frac{\partial}{\partial x} \end{bmatrix} \begin{bmatrix} \frac{1}{\omega} \frac{\partial}{\partial x} \frac{1}{\mu} \frac{\partial}{\partial y} & - \left(\frac{1}{\omega} \frac{\partial}{\partial x} \frac{1}{\mu} \frac{\partial}{\partial x} + \omega \varepsilon \right) \\ \left(\frac{1}{\omega} \frac{\partial}{\partial y} \frac{1}{\mu} \frac{\partial}{\partial y} + \omega \varepsilon \right) & - \frac{1}{\omega} \frac{\partial}{\partial y} \frac{1}{\mu} \frac{\partial}{\partial x} \end{bmatrix} \begin{bmatrix} E_x \\ E_y \end{bmatrix} - \beta^2 \begin{bmatrix} E_x \\ E_y \end{bmatrix} = 0. \quad (74)$$

Esta equação é resolvida numericamente, caracterizada como um problema de autovalores e autovetores. **Quais as características do guia de onda para a existência de modos híbridos?**

Análise - *slab* simétrico ($n_c = n_s$)

Etapas de análise (de acordo com a geometria do problema):

1. aplicação das equações de Maxwell;
2. determinação das componentes dos campos;
3. aplicação das condições de contorno;
4. determinação da equação característica;
5. a partir da solução da equação característica, determinar os parâmetros dos modos, como índice de refração e constante de propagação.

De acordo com as características do guia, como homogeneidade e simetria, é possível classificar a solução, como TEM ou TE, e determinar diretamente as componentes dos campos.

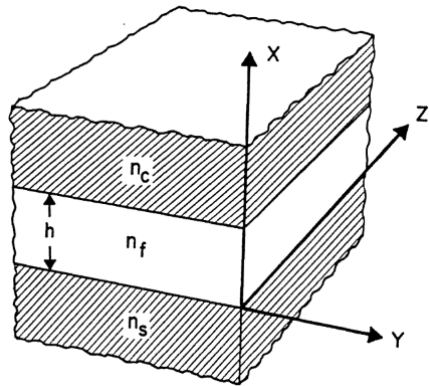


Figura 6: Guia dielétrico de placas planas assimétrico.

Análise - *slab* simétrico ($n_c = n_s$)

1. aplicação das equações de Maxwell

A [Fig. 6](#) ilustra um guia dielétrico retangular formado por três camadas dielétricas, cujo índice de refração é n_i ($i = c, f, s$). O guia é simétrico ($n_c = n_s$), em que $n_f > n_s$ e, portanto, satisfaz a condição de reflexão interna total. Assim, o campo propaga-se no dielétrico, cujo índice é igual a n_f . Tomando a [Eq. 25](#) e [Eq. 26](#) (geometria retangular) e considerando $\partial/\partial y = 0$, estas equações são reescritas como:

$$\mathbf{E}_T = -j \frac{\beta}{k_c^2} \left(\frac{dE_z}{dx} \hat{\mathbf{x}} - \eta_{TE} \frac{dH_z}{dx} \hat{\mathbf{y}} \right), \quad (75)$$

$$\mathbf{H}_T = -j \frac{\beta}{k_c^2} \left(\frac{dH_z}{dx} \hat{\mathbf{x}} + \frac{1}{\eta_{TM}} \frac{dE_z}{dx} \hat{\mathbf{y}} \right). \quad (76)$$

Análise - *slab* simétrico ($n_c = n_s$)

2. determinação das componentes dos campos

Obtidas as equações das componentes transversais (Eqs. 75 e 76) e longitudinais (Eqs. 27 e 28), as componentes nas direções \hat{x} e \hat{y} dos campos são (obtidas também a partir das Eqs. 36-39 com $\partial/\partial y = 0$):

$$\begin{bmatrix} E_x \\ E_y \end{bmatrix} = -j \frac{\beta}{k_c^2} \begin{bmatrix} 1 & 0 \\ 0 & -\eta_{TE} \end{bmatrix} \begin{bmatrix} dE_z/dx \\ dH_z/dx \end{bmatrix}, \quad (77)$$

$$\begin{bmatrix} H_x \\ H_y \end{bmatrix} = -j \frac{\beta}{k_c^2} \begin{bmatrix} 1 & 0 \\ 0 & 1/\eta_{TM} \end{bmatrix} \begin{bmatrix} dH_z/dx \\ dE_z/dx \end{bmatrix}, \quad (78)$$

enquanto as componentes longitudinais são

$$\frac{d^2 E_z}{dx^2} + k_c^2 E_z = 0,$$

$$\frac{d^2 H_z}{dx^2} + k_c^2 H_z = 0.$$

Observe que há dois conjuntos de equações e, portanto, soluções: modo TM e modo TE.

Análise - *slab* simétrico ($n_c = n_s$)

2. determinação das componentes dos campos

Então, podemos dividir as equações em dois grupos:

Modo TM:

$$\begin{aligned}E_x &= -j \frac{\beta}{k_c^2} \frac{dE_z}{dx} \\H_y &= -j \frac{\omega \varepsilon}{k_c^2} \frac{dE_z}{dx} \\ \frac{d^2 E_z}{dx^2} + k_c^2 E_z &= 0.\end{aligned}$$

Modo TE:

$$\begin{aligned}E_y &= j \frac{\omega \mu}{k_c^2} \frac{dH_z}{dx} \\H_x &= -j \frac{\beta}{k_c^2} \frac{dH_z}{dx} \\ \frac{d^2 H_z}{dx^2} + k_c^2 H_z &= 0.\end{aligned}$$

As demais etapas de análise de um guia de ondas serão apresentados nos capítulos seguintes.